УДК: 552.32/.33(479.25)

Э. Х. ГУЛЯН

НЕКОТОРЫЕ ПЕТРО-ГЕОХИМИЧЕСКИЕ ОСОБЕННОСТИ ТУРМАЛИНОВЫХ ГРАНИТОВ АРМЯНСКОЙ ССР

Структурные, пространственные и геохимические особенности известных золотосеребряных месторождений и проявлений и турмалиновых гранитов в совокупности с аномально высоким содержанием золота и серебра в этих породах позволяют предполагать глубокую генетическую связь турмалинизации с золото-серебряным оруденением.

С палеоген неогоновым длительно развивающимся (43-20,5 млн. лет) многофазным (4-5 фаз) пироксенит-габбро-монцонит-сиенит-гранодиорит-гранитовым сложным интрузивным комплексом Мегри-Сисианского плутона Армении, по мнению почти всех исследователей, связаны основные эндогенные рудные образования различных формаций позднемалматического (оливин-магнетитовые — Сваранцское, Камакарское), контактово-метасоматического (скарново-магнетитовые и скарново-шеелитовые с наложенными гидротермальными образованиями меди, молибдена, свинца, цинка, золота-Кейфашенское, Нювадинское, Еркатасарское, Мичиматское, Цуртджурское), пепматитового (медно-молибденовые—Калерское) и гидротермального (медно-молибденовые—Каджаранокое, Агаракское, Айгедзорокое, Анкасарское, Қазанличское, Дастакертское, полиметаллические-Кармироарокое, Апкизское, Аревотское, Мазмазакское и др., кварц-золото-сульфидные-Личкваз-Тейское, Тертерасарское, Меграсарское, Мазринское, Воскедзорское и др., кварцзолото-серебряно-полиметаллические-Марджанское, Пхрутское серно-колчеданные-Тагамирокое, Дзагидзорское, Алишарокое, Софулинское, Мурхузское, Нор-Анкское и др.) генезиса.

Эта научно обоснованная, практически доказанная, весьма важная региснальная геохимическая, металлогеническая закономерность эндогенных рудообразований с большой эффективностью используется при выборе направления геологоразведочных и научно-исследовательских работ.

Установленная для территории Армянской ССР региональная закономерность образования и пространственного размещения месторождений эндогенных руд позволяет обосновать и оценить региональные прогнозные ресурсы для отдельных сегментов металлогенических зон, реже для отдельных рудных районов, так как площади развития потенциальных рудоносных интрузивных комплексов занимают несколько сот квадратных километров, т. е. охватывают площади нескольких рудных районов.

Следовательно, для локального прогнозирования наряду со структурными факторами (разрывные нарушения, узлы их пересечения, из-

менение их направления, контактовые зоны, дайковые пояса и др.) весьма важное значение на данной стадии изученности имеет выяснение четро-геохимических особенностей отдельных разновидностей марматических образований, относимых к одной интрузивной фазе внедрения.

Детальное картирование и изучение показывают, чло даже в пределах образований одной интрузивной фазы впедрения выделяются отдельные тела различного состава, с которыми пространственно ассоцинуют различные эндогенные рудные образования.

Среди пород Мегри—Сисианского плутона различными исследователями (В. Г. Грушевой, С. С. Мкртчян, А. И. Адамян, Л. Г. Тер-Абрамян, Т. III. Татевосян, Э. Х. Гулян и др.) выделяются своеобразные турмалиновые гранитонды, которые в виде небольших штокообразных выходов (0,5—3,0 кв. км), обычно с нечеткими контактами, развиты в Мегринском (Ванкский) и Сисианском (Аравусский) районах.

В тектоническом отношении описываемые выходы приурочены к зоне Дебаклинского регионального разлома и обычно ассоциируют с более молодыми мио-плиоценовыми экструзивными магматическими образованиями риолит-андезито-дацитовой формации.

Ванкский выход турмалиновых гранитов находится в среднем течении р. Мегри, у слияния с ней ее левого Ванкского притока. По данным А. И. Адамяна, Л. Г. Тер-Абрамяна и др., выход занимает около 3 кв. км.

По мнению А. И. Адамяна [1], турмалиновые граниты являются продуктом третьей фазы внедрения интрузивного мапматизма, которые представлены лейкократовыми среднемелкозернистыми гранитами, граносиенитами, банатитами.

В структурном отношении выходы турмалиновых гранитов расположены в висячем боку внутри блокового регионального Дебаклинского разлома, в узле пересечения его с северо-восточными разломами более мелких порядков.

Макроскопически они представляют обычно мелко-среднезернистые светло-серые со слабым розоватым оттенком породы, нередко с четко выделенными различными по размерам и по форме черными турмалиновыми агрегатами, благодаря чему легко отличаются от остальных интрузивных пород (рис. 1 а и б). Наряду с вкрапленными турмалинами в этих породах четко наблюдаются короткие турмалиновые прожилки мощностью от миллиметра до нескольких сантиметров.

Микроокопическими исследованиями установлено, что эти породы обычно имеют гипидиоморфнозернистую структуру и сложены кварцем—15—25%, калиевым полевым шпатом—30—35%, плагиоклазом—30%, турмалином—4—10%, амфиболом—4—5%, биотитом—1%.

Акцессорные минералы представлены главным образом магнетитом, апатитом, сфеном, пиритом—1-2%.

Как видно из данных табл. 1, содержание кремнезема в этих породах колеблется от 64,80 до 71,70%, составляя в среднем 66,60%, а содержание свободного кремнезема, представленного кварцем, колеблется от 21,60 до 35,90% и в среднем составляет 24,6%. Содержание глино-

зема колеблется по оравнению с другими компонентами в узких пределах—от 13,86 до 15,78% и в среднем составляет 15,01%.

Содержание окиси кальция составляет в среднем 2,84 при колебании от 1,37 до 3,92%, а закиси магния 1,12% при колебании от 0,7 до 2,35%. Во всех случаях содержание окиси кальция больше, чем окиси магния. Диапазон вариации содержания окиси натрия колеблется

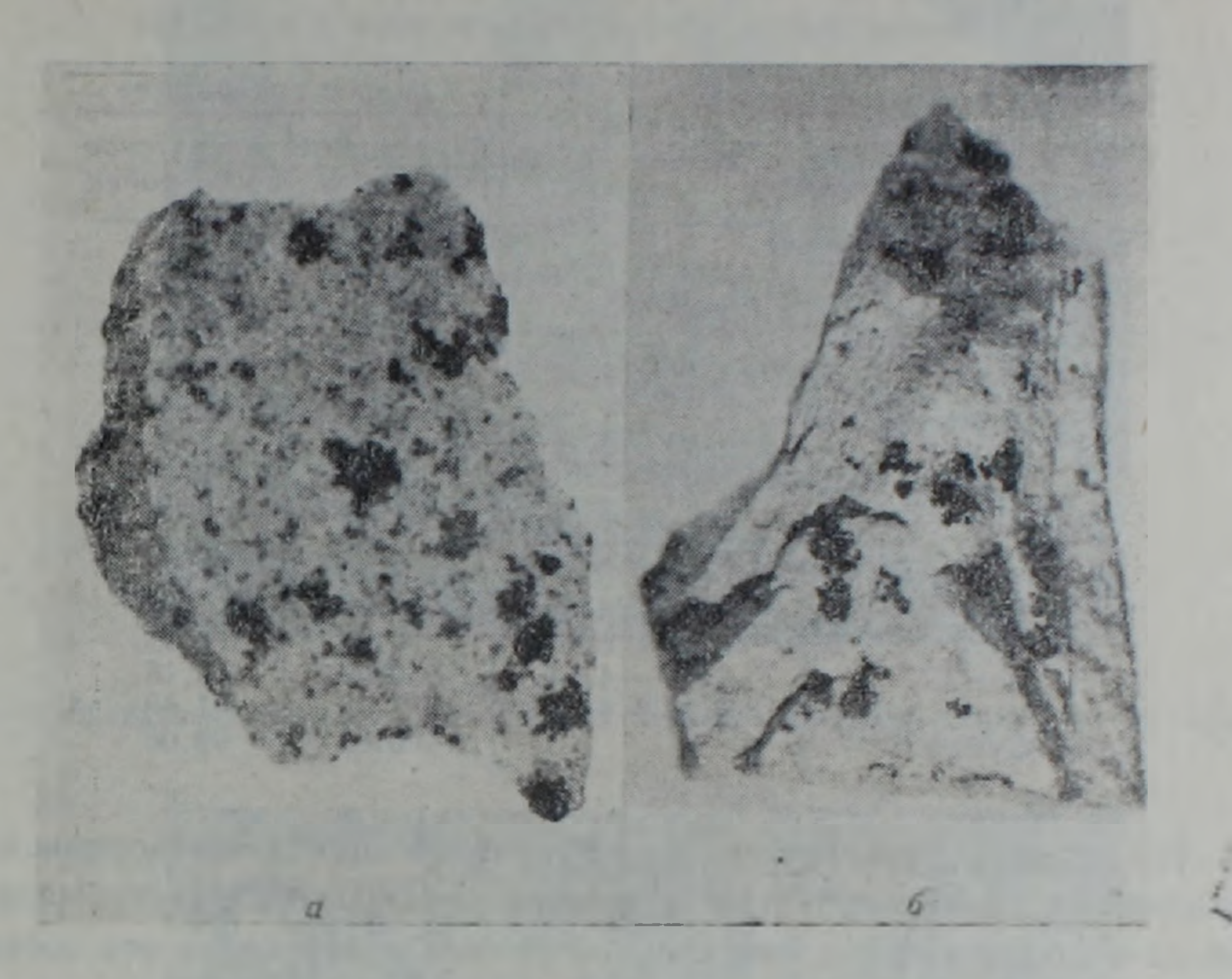


Рис. 1. Ванкский турмалиновый гранит. Черное-турмалин. Обр. 1,2. Натур. величины.

от 2,0 до 3%, составляя в среднем 2,60%, а калия—от 3,15 до 4,68% при среднем содержании 3,88%. Во всех случаях содержание окиси калия преобладает над содержанием окиси натрия. Как правило, суммарное содержание окисей щелочей преобладает над суммарным содержанием окисей кальция и магния.

Аравусские турмалиновые граниты распространены в верховьях левого притока р. Гижгет, среди вулканогенных образований верхнего эоцена, представленных сильно гидротермально измененными, окварцованными, каолинизированными, пропилитизированными, алунитизированными, эпидотизированными порфиритами, туфами, туфобрекчиями.

В структурном отношении эти турмалиновые граниты приурочены к мощной зоне раздробленных и гидротермально измененных пород, являющихся, по всей вероятности, северо-западным продолжением Деба-клинокого регионального разлома.

Турмалиновые граниты Аравусского рудного поля в виде небольших выходов шириной 50—100 и более метров прослеживаются в северовосточном направлении примерно до 1 км. Судя по большому количеству останцев гидротермально переработанных пород кровли, они представляют апикальную часть слабо эродированной интрузии. Контакты с вмещающими породами обычно извилистые, неясные, реже резкие.

Макроскопически они представляют среднезорнистые, со слабо выраженной порфировидной структурой породы светло-серого цвета. Обычно они гидротермально изменены, местами превращены в кварц-серицитовые породы (грейзены), содержащие в заметном количестве пирит, молибденит, халькопирит.

Таблица 1 Химический состав турмалиновых гранитов (в вес. %).

Окислы	Пределы к о лебаний	Среднее содержание		
		Ванкское по 17 пробам	Аравусское по 9 пробам	
SiO ₂ SiO ₂ CBOO. TiO ₂ Al ₂ O ₃ Fe ₂ O ₃ FeO CaO MgO MnO Na ₂ O K ₂ O P ₂ O ₅ BJara mnn Cymma	61,26-71,70 18,05-65,96 0,17-0,68 13,86-18,94 0,20-4,88 0,49-3,58 1,09-3,92 0,52-2,86 сл. — 0,06 0,50-3,0 3,0-5,38 0,05-0,40 сл. — 4,14 1,10-4,14	66,60 24,60 0,46 15,01 2,41 2,18 2,84 1,12 0,03 2,60 3,88 0,13 0,20 1,75 100.05	66.71 40.12 0.47 16,92 2.81 1.51 1.40 1.36 0,03 1.83 4.01 0.35 0.18 1.48 99.06	

Турмалин неравномерно распределен в общей массе породы и часто образует радиально-лучистые агрегаты, так называемые турмалиновые кольца и прожилки. На отдельных участках содержание его составляет более 30% общей массы породы (рис. 2 и 3).

Под микроскопом они имеют гипидиоморфное строение и состоят из кварца (15—30%), калиевого полевого шпата (30—35%), плагиоклаза (20—30%), реже роговой обманки, биотита, турмалина (10—15%). Из акцессорных минералов встречаются циркон, апатит, рутил, сфен, магнетит, пирит.

Как видно из данных табляцы 1, аравусские турмалиновые граниты в среднем по петрохимическому составу очень близки ванкским гранитам и одновременно отличаются от них повышенным содержанием свободного кремнезема (40, 12%), глинозема (16, 92%), окиси калия и низким содержанием окислов железа, кальция и натрия. Они характеризуются довольно постоянным содержанием основных породообразующих окислов. Содержание SiO₂ колеблется от 61,26 до 71,50% и в среднем составляет 66,71%. Суммарное содержание окислов щелочей составляет 5,87%. Причем, как правило, К₂О всегда преобладает над Na₂O, что является главной петрохимической особешностью этих пород.

Сравнительный анализ материалов показывает, что описываемые турмалиновые граниты, по сравнению с гранитами (по Дэли), характеризуются неоколько низким содержанием кремнезема, окисей щелочей, кальция и незначительным повышением содержания глинозема и окиси магния.

По основным петрохимическим признакам они ближе к породам порфировидных гранитоидов плутона и мноплиоценовым экструзивным риолит-дацитам и их можно отнести к классу щелочных гранитов калиевого ряда [по В. В.Велинскому, 3].

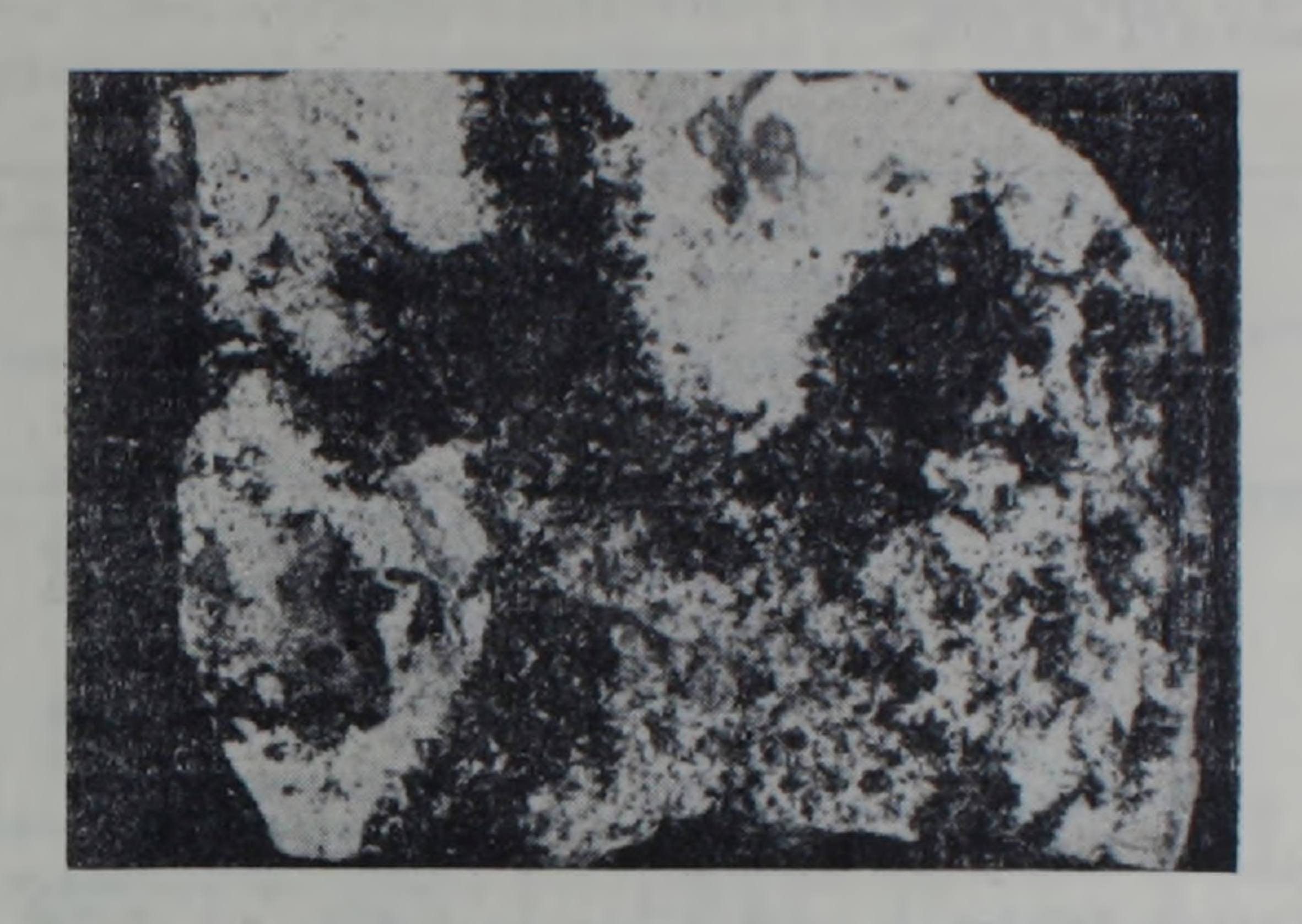


Рис. 2. Аравусский турмалиновый гранит. Черное-турмалин. Обр. 3, натур. величины.

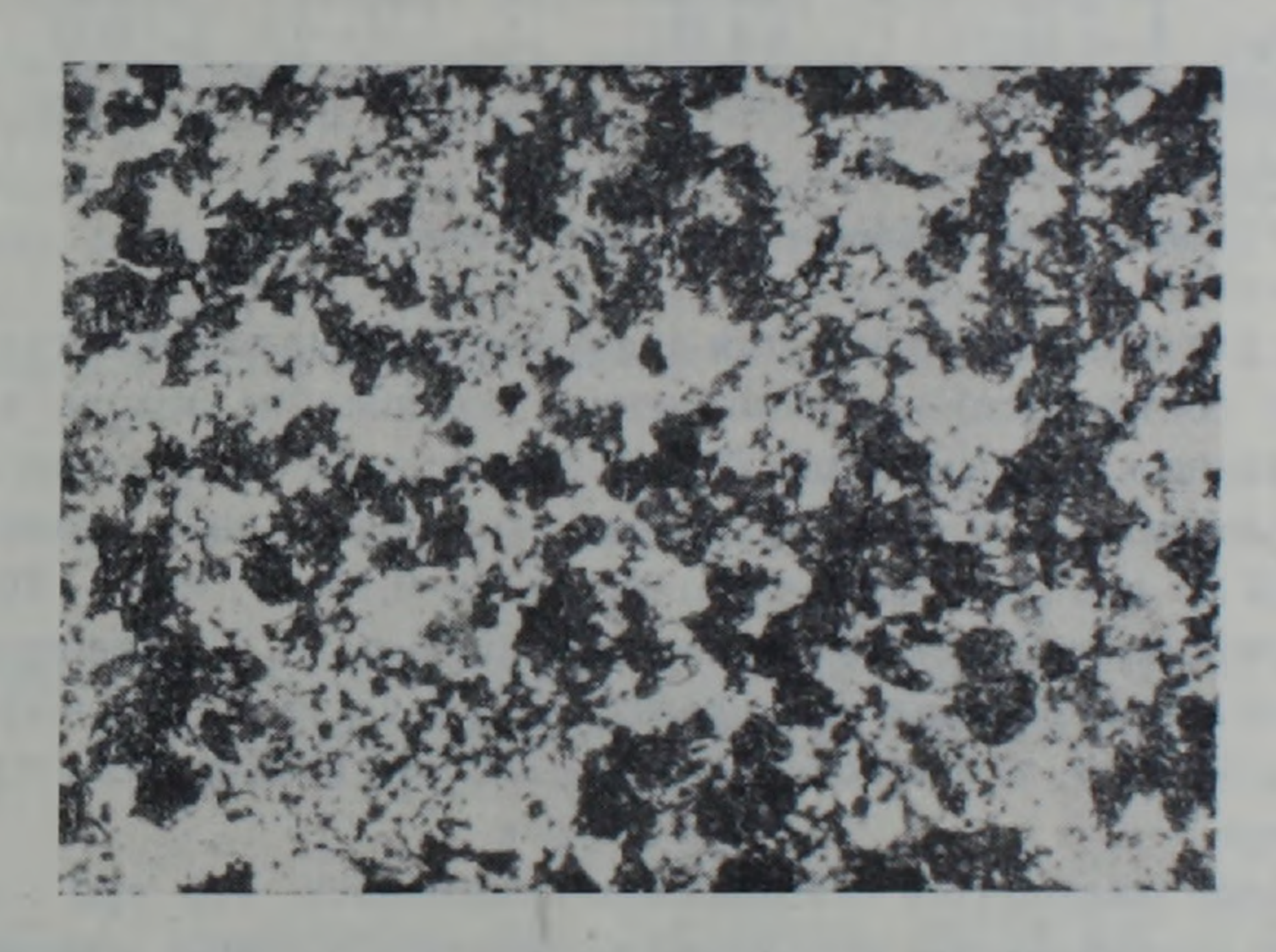


Рис. 3. Грейзен. Структура гранолепидобластовая. Ув. 45, ник. скрещены.

Главными отличительными геохимическими особенностями описываемых турмалиновых гранитов, как это видно из данных табл. 2, являются аномальное повышение, по сравнению с другими разновидностями пород плутона, содержания бора, серы, золота, серебра и низкое содержание хлора и фтора.

Содержание типичной для ванкских и аравусоких турмалиновых гранитов трехокиси бора колеблется в широких пределах—от 0,05 до 0,65%, реже доходит до 2—2,5% и в среднем составляет соответственно

0,21 и 0,14%, что более чем в 20—40 раз выше кларка для пранитов и гранодиоритов [4].

Сера, также являющаяся характерным элементом для этих пород, распространена в них весьма неравномерно и в среднем ее содержание составляет 0,21 и 0,52%.

Таблица 2

Элементы	Кларки		Содержание в %		
	в земной коре по А. П. Вн- ноградову (1962)	в кислых поро- дах по А. П. Ви- ноградову, уточ- нечные А. А. Сау- ковым	пределы колебания	Ванкский	Аравус-
Бор Фтор Хлор Сера Кобальт Никель Медь Цинк Свинец Молибден Мышьяк Сурьма Золото (г/m) Серебро (г/m) Олово*	0,0012 0,066 0,017 0,047 0,0018 0,0058 0,0047 0,0083 0,00 0 1 0,00 0 2.10 - 7 4.10 - 7 4.10 - 7 7.10 - 6	1.5.10 ⁻³ 8.10 ⁻² 2.4.10 ⁻² 4.10 ⁻² 5.10 ⁻⁴ 8.10 ⁻³ 6.10 ⁻³ 2.10 ⁻³ 1.5.10 ⁻⁴ 1,5.10 ⁻⁴ 2,6.10 ⁻⁵ 4.5.10 ⁻⁶	0.016-0.20 $0.0036-0.15$ 0.02 $0.1-1.49$ $0.01-0.06$ $0.01-0.1$ $0.01-0.05$ 0.0025 0.01 0.01 0.01 0.01 0.01 0.01 0.01 0.01	0,065 0,053 0,02 0.21 0,005 0,03 0,02 0,04 0,04 0,0025 0,01 0,01 0.15 6.0 0,001	0,043 0,05 0,01 0,01 0,07 0,0025 0,01 0,01 0,17 7,0 0,001

^{*} По данным количественно-спектральных анализов.

Как для ванкских, так и для аравусских турмалиновых гранитов характерно почти постоянно повышенное содержание золота и серебра. По имеющимся данным, лишь 20% проб показали содержание золота на уровне следов, а в остальных пробах его содержание колеблется от 0,1 до 0,6 г/т и в среднем составляет 0,15—0,17 г/т, что в 20—150 раз больше, чем кларки золота для кислых пород по А. П. Винопрадову [4].

Содержание серебра колеблется от 2,5 до 14,6 z/τ и в ореднем составляет 6—7 z/τ , т. е. примерно в 50-—300 раз больше, чем кларки кислых пород.

Анализ имеющихся материалов показывает, что при детальном изучении (опробовании) возможно выделить отдельные участки с более высоким содержанием золота и серебра.

По данным химических анализов, эти турмалиновые граниты содержат также в повышенных, по сравнению с кларками кислых пород, количествах кобальт, медь, цинк, молибден, мышьяк сурьму и др. элементы.

В некоторых пробах количественно-спектральными анализами установлено олово (0,001%).

Единая структурная позиция турмалиноносных гранитов и месторождений и проявлений зелсто-серебряного оруденения, аномально высокое содержание золота и серебра в этих породах свидетельствуют не

только о пространственной, но, возможно, и глубокой генетической связи процессов турмалинизации и золото-серебряной минерализации.

Имеющиеся данные указывают на возможность выделения более обогащенных участков золото-серебряной минерализации в этих породах, в овязи с чем необходимо детальнее и глубже изучать турмалиновые граниты и процессы турмалинизации.

Управление геологии Армянской ССР

Поступила 14.ХП.1982.

է. Խ. ՂՈՒԼՅԱՆ

ՀԱՅԿԱԿԱՆ ՍՍՀ ՏՈՒՐՄԱԼԻՆԱՅԻՆ ԳՐԱՆԻՏՆԵՐԻ ՊԵՏՐՈ-ԵՐԿՐԱՔԻՄԻԱԿԱՆ ՄԻ ՔԱՆԻ ԱՌԱՆՁՆԱՀԱՏԿՈՒԹՅՈՒՆՆԵՐԸ

Ushnynis

Համակողմանի ուսումնասիրություններով ապացուցված է, որ Մեզրի-Սիսիանի ինտրուզիվ կոմպլեքսի սահմաններում տարածված տուրմալինային դրանիտները բնորոշվում են բորի, ծծմբի, ոսկու և արծաթի համեմատաբար բարձր պարունակություններով։ Ոսկու-արծաթի հանքայնացման և տուրմալինային զրանիտների տարածական առնչությունը, ինչպես նաև ստրուկտուրային և երկրաքիմիական առանձնահատկությունները, թույլ են տալիս նըրանց համարել մեկ ընդհանուր մագմատիկ օջախի տարբեր էտապների առաջացումներ և հիմնավորել տուրմալինային գրանիտների տարածման սահմաններում ոսկու-արծաթի ավելի բարձր պարունակությամբ հանքային գոտիների գոյության հնարավորությունները։

E. Kh. GHULIAN

SOME PETRO-GEOCHEMICAL PECULARITIES OF THE ARMENIAN SSR TOURMALINIC GRANITES

Abstract

Structural, geochemical and distribution pecularities of goldsilver ore deposits, ore manifestations and tourmalinic granites with their anomalous high contents of gold and silver allow us to suppose a close genetic connection between tourmalinization and gold-silver mineralization.

ЛИТЕРАТУРА

- 1. Адамян А. И. Интрузивные породы Мегринского плутона. В кн. Геология Армянской ССР, т. III, Изд. АН Арм ССР, Ереван, 1966.
- 2. Баласанян С. И. Основные черты магматизма Армении, Изд. «Митк», Ереван, 1967.
- 3. Велинский В. В. Петрохимическая классификация магматических горпых пород с позиции теории орбиталей химических элементов. В кн. Вопросы генетической петрологии. Наука, Новосибирск, 1981.
- 4. Виноградов А. П. Среднее содержание химических элементов в главных типах изверженных пород. «Геохимия», № 7, 1962.
- 5. Гулян Э. Х., Бартикян П. М. О некоторых характерных особенностях минерализации золота на разных этапах развития тектоно-магматической деятельности на территории Армянской ССР. Известия АН Арм.ССР. Науки о Земле, т. XXXV, № 1, 1982.
- 6. Гулян Э. Х. Некоторые петрохимические особенности магматических пород северного склона Баргушатского хребта. Известия АН Арм.ССР. Науки о Земле, т. XVIII, № 3, 1965.
- 7. Заварицкий А. Н. Введение в петрохимию изверженных горных пород. Изд. АН СССР, М.—Л., 1950.
- 8. Меликсетян Б. М. Габбро-монцонит граноспенитовая формация. В ки. Магматические и метаморфические формации Армянской ССР. Изд. АН Арм.ССР, Ереван, 1981.

9. Сауков А. А. Геохимия. Наука, М., 1975.